

京大防災研究所 正員 小葉竹重機、正員 石原 安庭

I. 基礎理論 われわれは河道網系における洪水の伝播合成過程を単純なふくれ過程と蝶形合流過程で表現し、いかにも1次元多段過程として次式を示した。

$$q_i(t) = \left\{ A_i \cdot Z(2x_i) + B_i \cdot Z(t_i + \Delta t) + C_i \cdot Z(2t_i) \right\} * q_{i-1}(t) \quad i = 2, 3, \dots, n \quad (1)$$

$q_i(t)$  は  $i$  th order からの単位量の降雨に対する単位面積当りの流出量、 $Z(\cdot)$  は  $Z(\cdot)k_f(t) = f(t - \cdot)$  を表す可時間変換オペレーター、 $A_i, B_i, C_i$  は  $i$  th order での合流状況を示す Fig. 1 において、 $A_i = \alpha P_i^2/G_i$ 、 $B_i = (1+\alpha)P_i/G_i$ 、 $C_i = 2/G_i$ 、 $G_i = 2 + (1+\alpha)P_i + \alpha P_i^2$ 、 $\Delta t_i$  では雨域および流域の伝播時間を表す。結果  $n$  th order の河川流域からの流出量  $q_n(t)$  は (1) 式の和と  $F_n$  とおくと次式の漸化式で表わされる。

$$q_n(t) = F_n * q_{n-1} * \dots * F_2 * F_1 * r_0(t) \quad (2)$$

(2) 式に従って  $r_0(t) \rightarrow q_1(t) \rightarrow \dots$  と  $q_n(t)$  を計算することはできる。一方  $r_0(t), F_i$  を各自独立な確率変量の密度関数とみなすと  $q_n(t)$  はそれらの和の分布を求めるには  $N(t_m, \sigma^2)$  の正規分布に近づくことになり、 $q_n(t)$  のピーク位置  $t_m$  とピークの直  $q_{np}$  は

$$\begin{aligned} t_m &= M_0 + M_1 + \dots + M_n = M_0 + M_1 + \sum_{i=1}^n \left\{ D_i(t_i - \Delta t_i) + 2x_i \right\} \\ q_{np} &= \frac{1}{(2\pi)^{\frac{1}{2}}} \left( \sigma_0^2 + \sigma_1^2 + \dots + \sigma_n^2 \right)^{-\frac{1}{2}} = \frac{1}{(2\pi)^{\frac{1}{2}}} \left\{ \sigma_0^2 + \sigma_1^2 + \sum_{i=1}^n E_i(t_i - \Delta t_i) \right\}^{-\frac{1}{2}} \end{aligned} \quad (3)$$

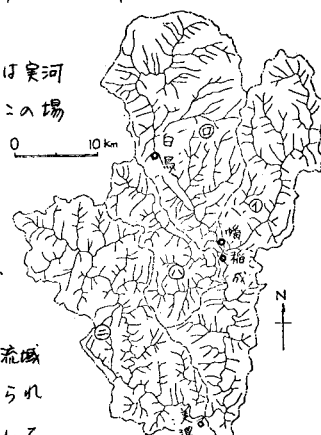
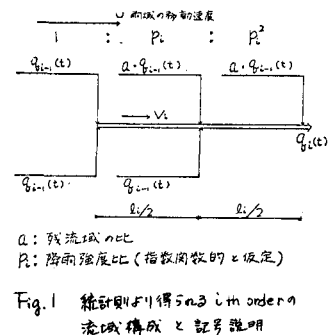
で与えられる。 $M_i, \sigma_i^2$  は降雨波形の平均値と分散、 $M_i, \sigma_i^2$  は  $F_i$  の平均値と分散、 $D_i, E_i$  は  $\alpha$  と  $P_i$  によって決まる定数である。(3) 式よりわれわれは降雨の時空間分布によるハイドログラフの変形について次の諸特性を得た。

1). 降雨域の移動に関して： 降雨域が下流から上流に向う場合 ( $\Delta t < 0$ ) はピークの位置は早くなるが  $q_{np}$  は小さくなる。逆の場合 ( $\Delta t > 0$ ) はピークの位置は遅くなるが  $q_{np}$  は大きくなり、雨域の移動速度と流水の伝播速度が等しい時 ( $\Delta t = 0$ ) に最大値となる。

2). 降雨強度の地域分布に関して： 上流ほど強い雨が降る場合 ( $P_i < 1$ ) にはピークは大きくなるが遅く理われる。逆の場合 ( $P_i > 1$ ) によって変化するが  $1 < P_i < 2$  程度では出水ピークは小さく早い。

## 2. 長良川流域の河道網の構成

この理論を長良川流域において検討する。ハクマでもなく Fig. 1 は実河川ではその流域の各 order へ構造を表現するものに変えられる。この場合 order ごとに構造が変化するとは差支えない。Fig. 2 は長良川の流域図で等高線のくぼみから (特に定義を行ってない) 最小河川まで描いた河道網図である。これによると流域は 5 th order の途中であり、その上流に破線で囲んだ 4 つの 4 th order の流域を有している。このうち (1) の流域を 5 th order の主河道に沿う残流域も含めて拡張して考えると 5 th order の構造として Fig. 3 (1) が得られる。次に 4 th order には平均的 4 本の 3 rd order の河川が流入しており Fig. 3 (2) の構造となる。河道長は 4 つの流域の平均値を用い、Fig. 2 の流域に等間隔で 3 rd order の河川が流入しているとしている。同じようにして求めた 3 rd order, 2 nd order の構造が Fig. 3 (3), (4) である。つぎに各 order の河道区间での洪水の伝播速度  $V_i$  を求めることが必要である。5 th order については構成～流域の実測ハイドログラフのピークの平均時差から  $4.17 \text{ m/sec}$  が求められるが、



1	1.09
2	1.09
3	1.09
4	1.09
5	1.09
6	1.09
7	1.09
8	1.09
9	1.09
10	1.09
11	1.09
12	1.09
13	1.09
14	1.09

Fig. 3

他については適当な記録がないので、かなり大胆ではあるが各 order での速度比を 0.8 と仮定して、4th, 3rd, 2nd に対してそれぞれ  $3.34 \text{ m/sec}$ ,  $2.67 \text{ m/sec}$ ,  $2.14 \text{ m/sec}$  とした。また 1st order の河川、すなわち、いまの場合の単位セル内での変換オペレーター  $F_1$  については、その平均の面積が  $1076 \text{ km}^2 / 700 = 1.54 \text{ km}^2$  であり、また計算の単位の時間が 1 時間であることを考慮して、Fig. 4 に示すように、形状及び尺度の母数が共に 1 のガンマ分布で表わせました。

### 3. 計算結果と考察

降雨の時空間分布の特性として

a)無次元化された地点降雨の時間分布が同じであるが、生起時間に差がある場合、

b)上の時間分布が同じではない場合

の二つに分けて考えることができよう。後者の場合には、一般的な性質を見出しづらい、いわゆる time-area-concentration diagram によって個々の場合を検討して、その影響をみるこができる。<sup>3), 4)</sup>したがって、ここで問題としているのは前者の場合である。

木曽川水系著名な洪水といわれるものの中から、降雨の時空間分布の特性が a)の場合に近いもの 2 例を選んで検討を行はれた。Fig. 5(1) は伊勢湾台風に伴う昭和 34 年 9 月 24 日～26日の最後の大暴雨を示したもので、岐阜～八幡間で時差 1 時間、八幡～白鳥間で時差 0 時間のように見える。しかし台風に伴う大雨である

ので、下流から上流方向に雨域が移動していると考えるのが妥当で、上記の諸事実を勘案して、上流方向に台風の移動速度  $75 \text{ km/hr}$  で雨域が移動したとした。

Fig. 5(2) は同じ 34 年の 8 月 12 日～13 のもので、上と同様に  $30 \text{ km/hr}$  で雨域が上流 (m/sec) 方向に移動したものとした。つぎに、各地点降雨の分布形が全く同じではないので、Fig. 5(1) では白鳥、(2) では美濃での雨量分布を標準とし、対象期間内の総雨量の比を乗じて各地点の雨量分布をえたよにした。なお、この比から雨量強度比  $P_i$  が求められる。

Fig. 6(1), (2) は美濃地先での計算結果で、実線は実測の水位・時間曲線、破線は(2)式から計算されたハイドログラフ、◎点は(3)式から求めたピークの位置と大きさである。美濃地點における昭和 34 年の水位-流量曲線が右に示すとおりである。計算値と直接比較することはできず、また例も必ずしも良くないが、この図から、上述の a) の場合の降雨の時空間分布特性が洪水ハイドログラフに及ぼす影響は、2, 3 述べた理論によってよく説明され、また(3)式によてかなりの精度で定量的に評価できることが明らかになった。また(3)式を用いた場合には最終 order が 4 へ 5th order に上げるに河道網を考慮すれば充分であるが、その時の(3)式の精度には洪水の伝播時間と降雨の duration の関係が大きく影響するこことにあつた。

最後に資料を提供して頂いた建設省木曽川上流工事事務所に対して深謝の意を表します。

- 〈参考文献〉 1) 高橋政長： 洪水流出解析と統合に関する基礎的研究、昭和 46 年 6 月  
 2) 石原・小塙竹： 河道網系における洪水の合成について、第 29 回年次講演会、昭和 49 年 10 月  
 3) 石原・小塙竹： 洪水解析における河道網系への割りつけ、同上  
 4) A. J. Surkan; Simulation of storm velocity effects on flow from distributed channel networks, Water Resources Research, Vol. 10, No. 6, 1974

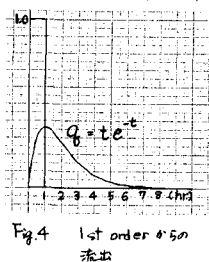


Fig. 4 1st order からの流出

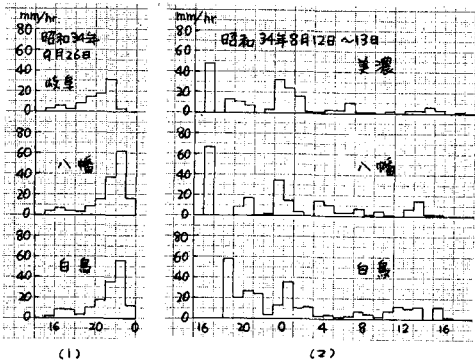


Fig. 5 昭和 34 年 9 月と 8 月の三地点におけるハイドログラフ

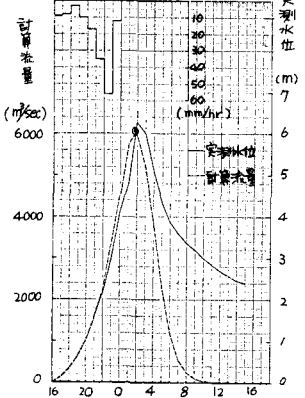


Fig. 6 (1) 昭和 34 年 9 月 26 日～27 日

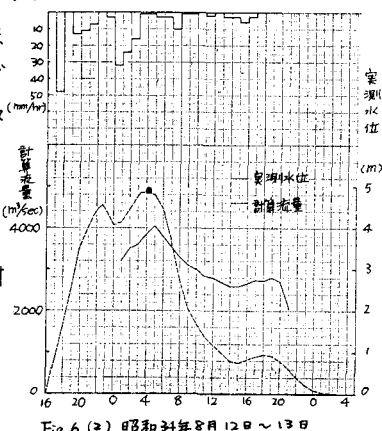


Fig. 6 (2) 昭和 34 年 8 月 12 日～13 日